

# 水溶性大豆多糖体外吸附 $Pb^{2+}$ 的研究

田月月, 胡沁蕊, 孔祥珍, 张彩猛, 华欲飞\*

(江南大学 食品学院, 江苏 无锡 214122)

**摘要:** 以水溶性大豆多糖(SSPS)为吸附剂, 改变 pH、吸附时间、初始  $Pb^{2+}$  浓度、加入人体必需金属元素( $Ca^{2+}$ ,  $Mg^{2+}$ ,  $Zn^{2+}$ ,  $Cu^{2+}$ )探究其体外吸附  $Pb^{2+}$  的规律性质。结果表明: 适宜吸附的 pH 范围为 4~6; 等温吸附曲线符合 Langmuir 单层吸附模型; 动力学实验表明初始  $Pb^{2+}$  质量浓度为 25 mg/L 和 50 mg/L 时符合准一级动力学方程, 初始  $Pb^{2+}$  质量浓度为 100 mg/L 时符合准二级动力学方程。大豆多糖对  $Pb^{2+}$  的选择性优于  $Zn^{2+}$  和  $Mg^{2+}$ , 其清除  $Pb^{2+}$  的同时可避免有益微量元素  $Zn^{2+}$  和  $Mg^{2+}$  的过度损失, 是一种安全的  $Pb^{2+}$  吸附剂。

**关键词:** 大豆多糖;  $Pb^{2+}$ ; 等温吸附; 动力学; 金属选择性

**中图分类号:** TS 210.9 **文献标志码:** A **文章编号:** 1673-1689(2018)04-0380-05

## In Vitro Binding of Lead by Soybean Soluble Polysaccharides

TIAN Yueyue, HU Qinrui, KONG Xiangzhen, ZHANG Caimeng, HUA Yufei\*

(School of Food Science and Technology, Jiangnan University, Wuxi 214122, China)

**Abstract:** Soybean soluble polysaccharides (SSPS), was evaluated for possible use as a kind of heavy metals adsorbent. In vitro binding of lead as affected by pH, contact time, metal concentration, and essential metals was carried out in a batch mode. The results indicated that the suitable range of pH was 4~6, lead binding isotherm was well described by Langmuir model at pH 5.5. Kinetics at low concentrations (25, 50 mg/L) and high metal concentrations (100 mg/L) obeyed pseudo-first-order model and pseudo-second-order model, respectively. SSPS showed a higher selectivity toward  $Pb^{2+}$  than  $Zn^{2+}$  and  $Mg^{2+}$ . Thus SSPS can be used as a safe detoxifying agent for  $Pb^{2+}$  which preventing the loss of essential metals ( $Zn^{2+}$  and  $Mg^{2+}$ ) successfully.

**Keywords:** SSPS,  $Pb^{2+}$ , binding isotherms, kinetics, metal selectivity

近年来,膳食纤维、多糖及其衍生物因吸附效果良好,天然可再生,可生物降解等优点广泛用作重金属吸附剂。可溶性大豆多糖(SSPS)是一种从豆渣中提取出来的膳食纤维,是一种带负电荷的酸性多糖。SSPS 主链由聚鼠李糖半乳糖醛酸(RG)长链

和聚半乳糖醛酸(GN)短链组成,与果胶结构类似<sup>[3-4]</sup>。众多体内体外实验研究结果表明果胶是一种非常好的重金属吸附剂<sup>[1-6]</sup>。因此,作者以大豆多糖为吸附剂,研究其体外吸附  $Pb^{2+}$  的规律性质并进一步探究吸附机理。

收稿日期: 2016-01-23

\* 通信作者: 华欲飞(1962—),男,江苏无锡人,工学博士,教授,博士研究生导师,主要从事粮食、油脂及植物蛋白研究。

E-mail: wfhua@jiangnan.edu.cn

引用本文: 田月月,胡沁蕊,孔祥珍,等 水溶性大豆多糖体外吸附  $Pb^{2+}$  的研究[J]. 食品与生物技术学报,2018,37(04):380-384.

## 1 材料与方法

### 1.1 材料与仪器

可溶性大豆多糖(SSPS):日本不二制油株式会社产品;超滤离心管:美国 PALL 公司产品;实验用水:Millipore 超纯水。

AA-240FS 原子吸收分光光度计:美国 Agilent 公司产品;pH 计:梅特勒-托利多仪器有限公司产品;TGL-16B 高速台式离心机:上海安亭科学仪器厂产品。

### 1.2 实验方法

**1.2.1 批量吸附实验步骤** 准确配制 1 000 mg/L 的  $Pb(NO_3)_2$  标准储备液,实验时用超纯水将标准储备液稀释至所需浓度。在 250 mL 的锥形瓶中加入 100 mL 一定浓度的标准  $Pb^{2+}$  溶液和干物质含量为 0.05 g 的大豆多糖,混匀后用 0.01 mol/L 的 NaOH 和 0.01 mol/L 的  $HNO_3$  调节 pH 至 5.5。将样液置于恒温水浴振荡器(37 °C, 130 r/min)中震荡。平衡 2 h 后取样 5 mL,置于超滤离心管中 4 000 r/min 离心 30 min。上清液游离的  $Pb^{2+}$  浓度用原子吸收分光光度计测量<sup>[7]</sup>。样品空白以等量不添加 SSPS 的  $Pb^{2+}$  水溶液设置,其他操作同上,以扣除锥形瓶、超滤管所带来的  $Pb^{2+}$  浓度损失。试剂空白以等量不添加  $Pb^{2+}$  的 SSPS 水溶液设置,以扣除 SSPS 水溶液本身对原子吸收吸光值造成的影响。

**1.2.2 pH 对大豆多糖吸附  $Pb^{2+}$  的影响** 吸附实验  $Pb^{2+}$  初始添加质量浓度为 50 mg/L,大豆多糖初始质量浓度为 0.5 g/L,调整 pH 2~6,37 °C,130 r/min 平衡 2 h,考察 pH 对吸附造成的影响。

**1.2.3 吸附动力学** 考察反应时间对吸附的影响。 $Pb^{2+}$  初始质量浓度分别为 25, 50, 100 mg/L,大豆多糖初始质量浓度为 0.5 g/L,调 pH 5.5,37 °C,130 r/min 水浴摇床震荡,吸附 5、10、20、40、60、80、120 min 时分别取样 5 mL,于超滤管中离心取上清测游离  $Pb^{2+}$  浓度。

**1.2.4 等温吸附** 考察  $Pb^{2+}$  浓度对吸附的影响。SSPS 质量浓度为 0.5 g/L,改变  $Pb^{2+}$  的初始质量浓度(1、2.5、5、10、25、40、50、60、80、100 mg/L),其他反应条件不变,所得数据用 Langmuir 等温方程和 Freundlich 等温方程来描述金属离子在吸附剂表面的吸附行为<sup>[7-8]</sup>。

**1.2.5 微量元素对 SSPS 吸附  $Pb^{2+}$  的影响** 考察微

量元素对大豆多糖吸附  $Pb^{2+}$  的影响以及 SSPS 的选择性吸附能力。重金属离子  $Pb^{2+}$  和人体必需微量元素( $Ca^{2+}$ ,  $Mg^{2+}$ ,  $Zn^{2+}$ ,  $Cu^{2+}$ )具有化学相似性,都可以被膳食纤维吸附。100 mL 双溶质反应体系中  $Pb^{2+}$  与人体必需微量元素以质量比 1:1 比例混合均匀,调 pH 5.5,37 °C,水浴摇床 130 r/min 震荡 2 h,超滤离心后测上清,以只添加  $Pb^{2+}$  的反应溶液做空白对照。

**1.2.6  $Zn^{2+}$  或  $Mg^{2+}$  与重金属离子争夺大豆多糖吸附基团的互作效应** 100 mL 反应溶液中, $Zn^{2+}$  或  $Mg^{2+}$  质量浓度为 50 mg/L,SSPS 质量浓度为 0.5 g/L。37 °C 平衡 2 h 后取样 5 mL,超滤离心后取上清分别测  $Zn^{2+}$  或  $Mg^{2+}$  质量浓度,计算  $Zn^{2+}$  或  $Mg^{2+}$  吸附量。向取样后的反应溶液中加入一定量重金属盐( $Pb^{2+}$ ,  $Cd^{2+}$ ,  $Cu^{2+}$ )和超纯水,溶液体积保持 100 mL 不变,重金属质量浓度达 50 mg/L。37 °C 平衡 2 h,超滤离心后测上清  $Zn^{2+}$  或  $Mg^{2+}$  的质量浓度,计算  $Zn^{2+}$  或  $Mg^{2+}$  吸附量的变化情况。

其次改变  $Zn^{2+}$ 、 $Mg^{2+}$  与重金属的添加顺序,通过计算添加矿物质离子( $Zn^{2+}$ 、 $Mg^{2+}$ )前后重金属离子( $Pb^{2+}$ ,  $Cd^{2+}$ ,  $Cu^{2+}$ )吸附量的变化情况,来考察  $Zn^{2+}$  和  $Mg^{2+}$  对重金属离子置换情况。

### 1.3 数据处理和分析

每组实验重复测定 3 次,用 Original 8.0 和 Excel2010 软件进行实验数据的图表和数据分析。

## 2 结果与讨论

### 2.1 pH 对大豆多糖吸附 $Pb^{2+}$ 影响

pH 由 2.0 增大到 6.0 时,单位大豆多糖吸附  $Pb^{2+}$  量不断增大。如图 1 所示,pH 2.0 时吸附量接近 0,pH 4.0 吸附量开始显著增加,pH 5.5 以后吸附量保持稳定。pH 从 2.5 升到 5.5,单位大豆多糖对  $Pb^{2+}$  的吸附量增加了 85.66 mg/g。pH 值大于 6 时  $Pb^{2+}$  会生成  $Pb(OH)_2$  沉淀,因此适宜吸附的 pH 范围为 4~6。

膳食纤维吸附重金属过程中,羧基的解离状况对其影响很大<sup>[9]</sup>。当 pH 值升高时,SSPS 羧基上的质子解离增多,其吸附  $Pb^{2+}$  量增大。且随着 pH 的升高, $Pb^{2+}$  易形成不稳定的水合物和聚合物,如  $Pb(OH)^+$ ,  $Pb(OH)_2$ ,  $[Pb_3(OH)_5]^+$  和  $[Pb_4(OH)_4]^{4+}$ <sup>[7]</sup>。相比  $Pb^{2+}$ ,这些水合物更易与大豆多糖结合,从而使吸附量增加。体外模拟小肠消化(pH 5.5~pH 7.5),采用不同 pH 值测得的生物有效性数值差别较大,pH 值越小,金属离子的生物有效性越大<sup>[10]</sup>。因此选用 pH

5.5 模拟人体肠道环境, 进一步探究大豆多糖吸附  $Pb^{2+}$  的规律性质。

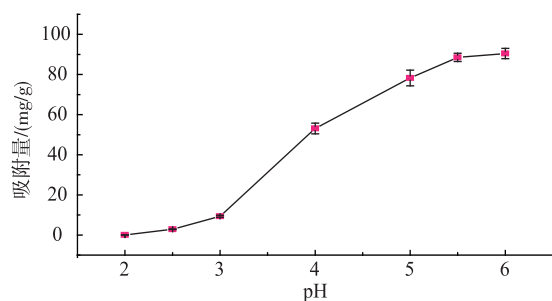


图1 pH变化对SSPS吸附  $Pb^{2+}$  的影响

Fig. 1 Effect of pH on lead binding by SSPS

## 2.2 吸附动力学

图2表示的是反应时间对  $Pb^{2+}$  吸附量的影响。  $Pb^{2+}$  初始质量浓度较低 (25 mg/L 和 50 mg/L) 时, 吸附较快, 20 min 左右吸附便达到平衡。随着初始质量浓度的增加 (100 mg/L), 到达平衡所需的时间增加, 40 min 左右基本达到平衡。

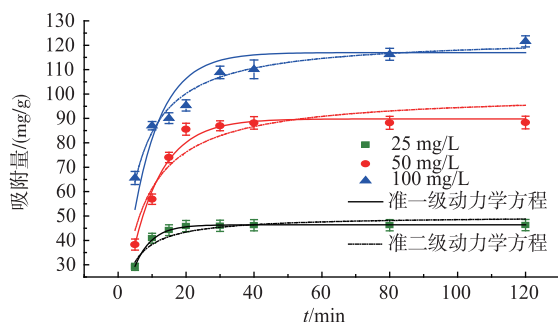


图2 大豆多糖吸附  $Pb^{2+}$  的动力学曲线

Fig. 2 Kinetic curves for lead binding by SSPS

为探究吸附效率, 分别用准一级和准二级动力学方程对实验数据进行线性拟合(表1)。由相关系数  $R_1$  和  $R_2$  可得, 初始  $Pb^{2+}$  质量浓度较低 (25 mg/L 和 50 mg/L) 时, 实验数据更符合准一级动力学方程。准一级动力学方程是离子交换模型<sup>[11]</sup>, 红外光谱的分析<sup>[12]</sup>表明: 膳食纤维在与矿物质形成吸附物的过程中, 膳食纤维中的羧基基团参与了成键作用, 因此推测低浓度下大豆多糖链上的羧基与  $Pb^{2+}$  发生了离子交换。

$Pb^{2+}$  初始质量浓度为 100 mg/L 时更符合准二级动力学方程,  $R_2^2(0.967) > R_1^2(0.899)$ , 二级方程是化学反应模型, 反应过程与价力(电子的配对或转移)有关, 故 SSPS 吸附高质量浓度  $Pb^{2+}$  的过程是离子配位过程。大豆多糖提取过程中糖链上会有残留的蛋白质, 推测高浓度下  $Pb^{2+}$  与大豆多糖上残留的氨基酸发生了电子配对或转移<sup>[7]</sup>。

## 2.3 等温吸附

分别用 Langmuir 和 Freundlich 等温吸附方程对实验数据进行非线性拟合, 拟合曲线如图3所示。初始  $Pb^{2+}$  质量浓度从 5 mg/L 变化到 100 mg/L, 单位大豆多糖的吸附量增加了 114.29 mg/g, 吸附曲线最终趋于平衡。实验测得的平衡吸附量为 121.60 mg/g, 与 Langmuir 模型拟合所得数据 129.02 mg/g 相近。由图3可得大豆多糖吸附  $Pb^{2+}$  的行为符合 Langmuir 等温吸附模型。Langmuir 模型是单层吸附模型, 即  $Pb^{2+}$  与大豆多糖表面有限数量的吸附位点结合形成单分子层, 所有的吸附位点对  $Pb^{2+}$  的作用相近<sup>[13]</sup>。

表1 大豆多糖吸附  $Pb^{2+}$  的动力学参数

Table 1 Isotherm parameters for lead binding by SSPS

初始浓度 $C/(mg/L)$	实测数值 $q_j/(mg/g)$	准一级动力学方程参数			准二级动力学方程参数		
		$q_j/(mg/g)$	$k_j/(L/min)$	$R_1^2$	$q_j/(mg/g)$	$k_2/(g/mg \cdot min)$	$R_2^2$
25	42.24	46.35	0.204	0.996	49.36	0.007 75	0.856
50	87.88	89.57	0.113	0.977	99.12	0.001 66	0.883
100	122.16	117.74	0.127	0.899	129.2	0.001 52	0.967

## 2.4 有益微量元素和重金属离子的竞争性吸附

治疗重金属中毒时服用螯合剂有时会造成有益微量元素 ( $Cu^{2+}$ ,  $Zn^{2+}$ ,  $Ca^{2+}$ ,  $Mg^{2+}$  等) 的损失<sup>[14]</sup>。这种负作用可以通过适当补充微量元素来预防。然而,

吸附剂与微量元素的结合可能会影响吸附剂对目标金属(重金属)的吸附。因此, 设置双溶质体系探究人体必需微量元素对 SSPS 吸附  $Pb^{2+}$  的影响, 以此来评估 SSPS 对金属元素的选择性。

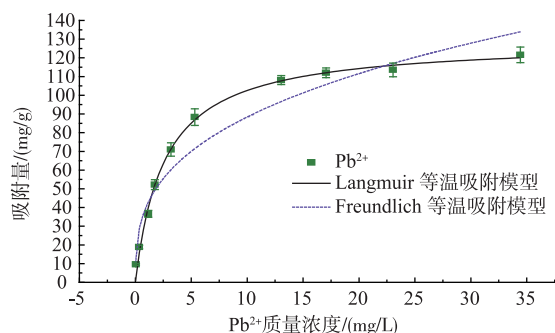


图3 pH 5.5 大豆多糖吸附铅离子的等温吸附曲线

Fig. 3 Binding isotherms for lead binding by SSPS at pH 5.5

如图4可知,当Pb<sup>2+</sup>和微量元素的初始质量浓度均为5 mg/L时,微量元素对大豆多糖吸附Pb<sup>2+</sup>几乎没有任何影响。当双溶质反应液中Pb<sup>2+</sup>和微量元素初始质量浓度均上升至25 mg/L和50 mg/L时,相比未加微量元素的空白组,加Cu<sup>2+</sup>后大豆多糖对Pb<sup>2+</sup>的结合量分别下降了5.63%和28.33%,加Ca<sup>2+</sup>后下降了3.55%和12.74%,加Zn<sup>2+</sup>后下降了2.94%和8.08%,加Mg<sup>2+</sup>后下降了3.15%和9.51%。所以在25 mg/L和50 mg/L的质量浓度下,微量元素会和Pb<sup>2+</sup>存在不同程度的竞争性吸附,使大豆多糖可吸附的Pb<sup>2+</sup>含量降低,其中以Cu<sup>2+</sup>的干扰性最强,Zn<sup>2+</sup>和Mg<sup>2+</sup>影响微弱(<10%)。Cu<sup>2+</sup>是一种非常特殊的微量元素,它在高浓度下有毒,属于重金属离子的同时又属于人体必需元素<sup>[5]</sup>。Cu<sup>2+</sup>对SSPS吸附Pb<sup>2+</sup>干扰性最大,一方面Cu<sup>2+</sup>本身电负性(1.90)较大,电负性越大,越容易与SSPS的吸附基团结合。另一方面pH 5.5下Cu<sup>2+</sup>容易形成不稳定的水合物(如Cu(OH)<sup>+</sup>,Cu(OH)<sup>2+</sup>),相较Cu<sup>2+</sup>,这些水合物更容易与SSPS的吸附基团结合。因此,相较其他微量元素,Cu<sup>2+</sup>对SSPS吸附Pb<sup>2+</sup>干扰性最强。

当初始质量浓度上升至100 mg/L时,添加同等质量浓度的Zn<sup>2+</sup>和Mg<sup>2+</sup>后,相较空白组,大豆多糖对Pb<sup>2+</sup>的吸附量不降反增,分别增加了7.69%和4.11%。尽管添加Ca<sup>2+</sup>和Cu<sup>2+</sup>后,大豆多糖对铅的吸附量分别下降了10.94%和18.53%,但其下降比率低于初始质量浓度为50 mg/L时的下降比率(12.74%和28.33%)。F. Y. SIAO等人研究人体必需元素对γ-PGA吸附Pb<sup>2+</sup>的影响时也发现了同样的现象,其解释是当反应体系中矿物质离子达到一定浓度时会改变γ-PGA(一种高分子化合物)的构象,使更多的吸附基团暴露,单位γ-PGA可吸附Pb<sup>2+</sup>量增加<sup>[7]</sup>。因此推测当溶液中Zn<sup>2+</sup>和Mg<sup>2+</sup>的浓度达到

100 mg/L时,改变了大豆多糖的构象,促使更多的吸附基团暴露,从而使单位SSPS可吸附Pb<sup>2+</sup>量不降反增。由此可得,Zn<sup>2+</sup>和Mg<sup>2+</sup>不会对SSPS吸附目标金属离子(Pb<sup>2+</sup>)造成明显干扰,SSPS对Pb<sup>2+</sup>的选择性很高。

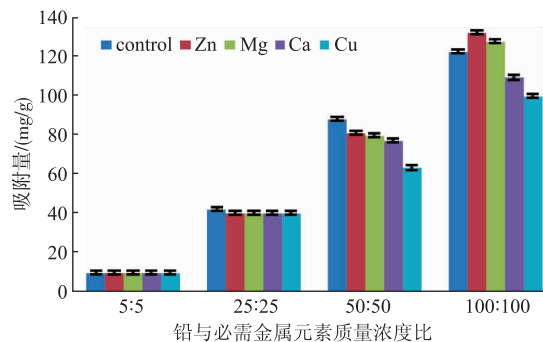


图4 人体必需元素对SSPS吸附Pb<sup>2+</sup>的影响

Fig. 4 Effect of essential metals on lead binding by SSPS

Zn<sup>2+</sup>和Mg<sup>2+</sup>是人体内必不可少的微量元素,研究Mg<sup>2+</sup>,Zn<sup>2+</sup>与重金属(Pb<sup>2+</sup>,Cd<sup>2+</sup>,Cu<sup>2+</sup>)争夺大豆多糖吸附位点的能力。结果表明,Zn<sup>2+</sup>和Mg<sup>2+</sup>置换重金属离子的能力很弱,如加入Zn<sup>2+</sup>和Mg<sup>2+</sup>后Pb<sup>2+</sup>的释放率分别只有3.39%和3.18%。

反应体系加入重金属后,Zn<sup>2+</sup>释放率均超过50%,即各重金属离子置换被大豆多糖束缚的Zn<sup>2+</sup>能力相对较强。Mg<sup>2+</sup>的平衡吸附量很低,故加入重金属后释放率相对较低,但仍高于加入Mg<sup>2+</sup>后体系中重金属的释放率(<6%)。由此可得,大豆多糖对重金属(Pb<sup>2+</sup>,Cd<sup>2+</sup>,Cu<sup>2+</sup>)的束缚能力高于Zn<sup>2+</sup>和Mg<sup>2+</sup>。结合2.4研究结论,可知大豆多糖对Pb<sup>2+</sup>的选择性要高于Zn<sup>2+</sup>和Mg<sup>2+</sup>,其在生物体内清除有害重金属离子(Pb<sup>2+</sup>)的同时可避免有益微量元素Zn<sup>2+</sup>和Mg<sup>2+</sup>的过度损失。

### 3 结语

水溶性大豆多糖(SSPS)可以有效吸附水溶液中的Pb<sup>2+</sup>。大豆多糖吸附Pb<sup>2+</sup>的量随着pH的升高而增加,最适吸附范围为pH 4~6。pH 5.5,初始Pb<sup>2+</sup>质量浓度为50 mg/L时,单位SSPS最大Pb<sup>2+</sup>吸附量可达88.54 mg/g。

动力学吸附实验表明,Pb<sup>2+</sup>初始质量浓度为25 mg/L和50 mg/L时符合准一级动力学方程,Pb<sup>2+</sup>初始浓度为100 mg/L时符合准二级动力学方程。等温吸附结果符合Langmuir模型,推测大豆多糖分子链

的羧基是与  $\text{Pb}^{2+}$  发生单层吸附的主要基团。

体外实验表明,大豆多糖对  $\text{Pb}^{2+}$  等重金属的束缚能力高于  $\text{Zn}^{2+}$  和  $\text{Mg}^{2+}$  等人体有益金属元素,其在清除有害重金属离子( $\text{Pb}^{2+}$ )的同时可避免有益微量

元素  $\text{Zn}^{2+}$  和  $\text{Mg}^{2+}$  的损失,是一种安全的吸附剂。作为一种  $\text{Pb}^{2+}$  螯合剂,大豆多糖体内吸附  $\text{Pb}^{2+}$  的功效有待进一步研究。

## 参考文献:

- [ 1 ] JIN Wenda, LEI Yi, CHEN Feng. The toxicity studies of lead on the kidney [J]. **Practical Preventive Medicine**, 2007, 14(2): 597-600. (in Chinese)
- [ 2 ] FOULKES E C. Transport of toxic heavy metals across cell membranes [J]. **Proceedings of the Society for Experimental Biology and Medicine**, 2000, 223(3): 234-240.
- [ 3 ] NAKAMURA A, FURUTA H, MAEDA H, et al. Analysis of structural components and molecular construction of soybean soluble polysaccharides by stepwise enzymatic degradation [J]. **Bioscience Biotechnology and Biochemistry**, 2001, 65(10): 2249-2258.
- [ 4 ] XUE Changhu, ZHANG Yongqin, LI Zhaojie, et al. Recent development of pectin and pectolytic enzyme [J]. **Journal of Food Science and Biotechnology**, 2005, 24(6): 94-99. (in Chinese)
- [ 5 ] MAXIM K, VALERI K, YURI K. Equilibrium studies of sorption of lead(II) ions by different pectin compounds [J]. **Journal of Hazardous Materials**, 2007, 149(3): 693-699.
- [ 6 ] TAHIRI M, PELLERIN P, TRESSOL J C, et al. The rhamnogalacturonan-II dimer decreases intestinal absorption and tissue accumulation of lead in rats [J]. **Journal of Nutrition**, 2000, 130(2): 249-253.
- [ 7 ] SIAOiao F Y, LU J F, WANG J S, et al. In vitro binding of heavy metals by an edible biopolymer Poly ( $\gamma$ -glutamic acid) [J]. **Journal of Agricultural and Food Chemistry**, 2009, 57(2): 777-84.
- [ 8 ] ZHOU Hongying, LI Na, WANG Xuesong, et al. Study on the mechanism of Pb(II) and Cu(II) biosorption by two brown alga [J]. **Journal of Food Science and Biotechnology**, 2012, 31(1): 47-54. (in Chinese)
- [ 9 ] YANG Xianqing, LI Laihao, QI Bo. Adsorption of  $\text{Cd}^{2+}$ ,  $\text{Pb}^{2+}$ ,  $\text{Hg}^{2+}$  by dietary fibres from four seaweeds [J]. **Journal of Fishery Sciences of China**, 2007, 14(1): 132-138. (in Chinese)
- [10] ZHANG Dongping, YU Yingxin, ZHANG Fan, et al. The research of environmental pollutants on the determination of biological effectiveness in the simulate gastrointestinal tract [J]. **Chinese Science Bulletin**, 2008, 53(21): 2537-2545. (in Chinese)
- [11] YESUDOSS C R, BASKARAN S I, HUEI C B. In vitro adsorption of aluminum by an edible biopolymer poly ( $\gamma$ -glutamic acid) [J]. **Journal of Agricultural and Food Chemistry**, 2014, 62: 4803-4811.
- [12] WANG Zhongde, WANG Yunxiang, SONG Shilian, et al. Studies of complexes of Fe(II), Zn(II), Mg(II) and dietary fiber extracted from soybean and barley by infrared spectrogram [J]. **Food and Fermentation Industries**, 1994, (1). (in Chinese)
- [13] NIU C M, WU W H, WANG Z, et al. Adsorption of heavy metal ions from aqueous solution by crosslinked carboxymethyl konjac glucomannan [J]. **Journal of Hazardous Materials**, 2007(141): 209-214.
- [14] OU S, GAO K, LI Y. An in vitro study of wheat bran binding capacity for Hg, Cd, and Pb [J]. **Journal of Agricultural and Food Chemistry**, 1999, 47(11): 4714-4717.